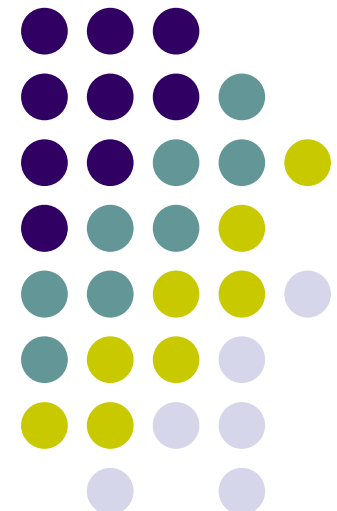
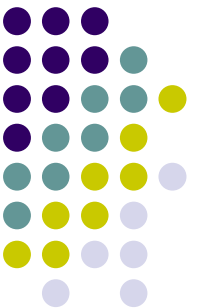


Resolución multivariante aplicada a problemas (bio)analíticos

Raimundo Gargallo, Anna de Juan, Joaquim Jaumot
Grupo de equilibrios en solución y Quimiometría

Universidad de Barcelona
raimon_gargallo@ub.edu
www.ub.es/gesq/

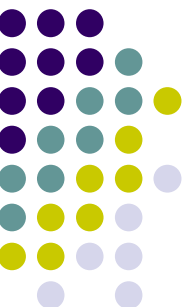




- El grupo de equilibrios en solución y Quimiometría
- Estudio de los equilibrios en solución del ADN
- Estudio y modelado de procesos en que intervienen proteínas
- Análisis de micromatrices de ADN

El grupo de equilibrios en solución y Quimiometría

Ubicación



Screenshot of a web browser displaying the website for the Equilibrium Group in Solution and Quimiometry (ESQ) at the University of Barcelona.

The URL in the address bar is <http://www.ub.es/gesq/esp/espindex.html>.

The page title is "Benvinguts al Grup d'Equilibris en solució i Quimiometria".

The header includes the University of Barcelona logo and links to "Departamento de Química Analítica", "Català", "English", "Inici ESQ", "Inicio Departamento", and "Inicio UB".

The main content area features a large image of a coastal cityscape, the title "Grupo de equilibrios en solución y Quimiometría", and a sidebar menu with the following sections:

- Presentación
- Localización
- Miembros
- Investigación** (highlighted)
- Actividad investigadora
- Oferta de postgrado
- Proyectos
- Recursos
- Servicios** (highlighted)
- Asesoría, cursos y seminarios
- Multivariate Curve Resolution homepage
- Enlaces

The "Investigación" section contains links to "Actividad investigadora", "Oferta de postgrado", "Proyectos", "Recursos", and "Servicios".

The "Servicios" section contains links to "Asesoría, cursos y seminarios", "Multivariate Curve Resolution homepage", and "Enlaces".

A "Bienvenidos a la página web del grupo ESQ" message is displayed above a photograph of a modern university building complex.

An "Intranet" sidebar on the right includes fields for "Identificador" and "Contraseña" with a "validar" button.

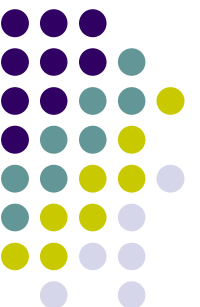
Footnotes and contact information are provided at the bottom left, including:

- Universitat de Barcelona, Departament de Química Analítica, Facultat de Química
- Marti i Franquès 1-11, 08028-Barcelona
- Tel.: +34-934021276
- Fax: +34-934021233

Page footer information includes:

- © Universitat de Barcelona
- Edición: Grupo ESQ
- Última actualización o validación: 31.10.2007

The page URL is www.ub.es/gesq/esp/espindex.html.

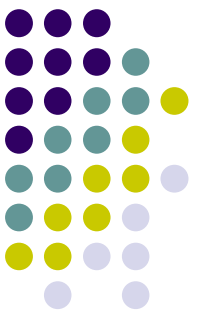


El grupo de equilibrios en solución y Quimiometría

Líneas de investigación

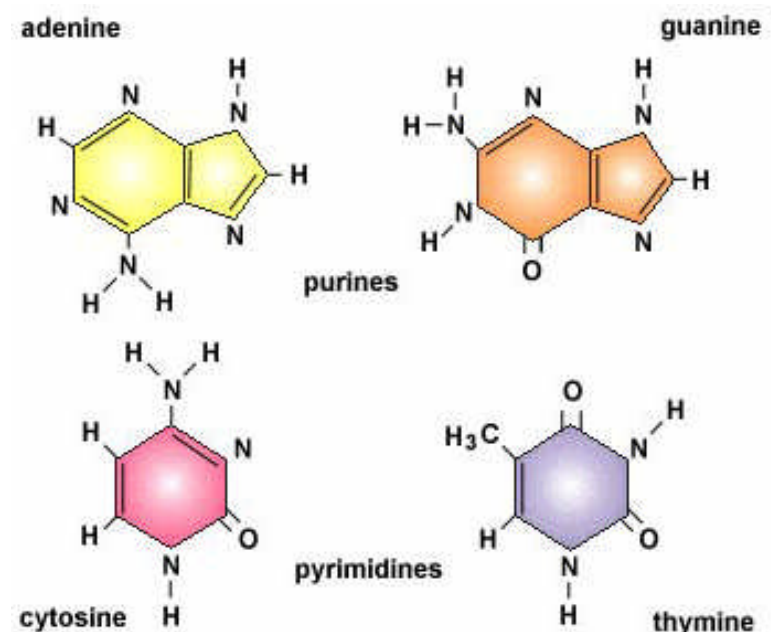
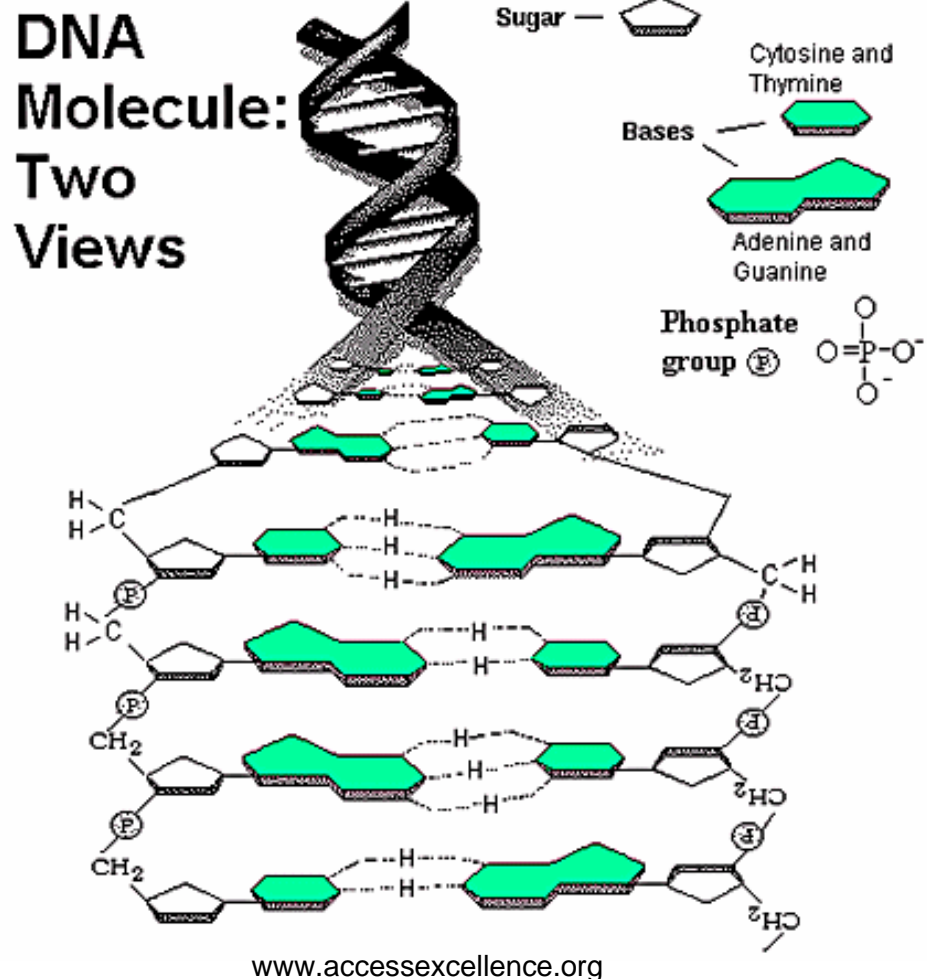
- Desarrollo y validación de métodos de análisis quimiométricos
- Desarrollo de herramientas quimiométricas para el análisis de imágenes espectroscópicas
- Química Analítica del DNA cuádruple
- Estudio y modelado de procesos en que intervienen proteínas

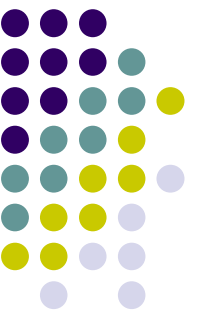
- Establecimiento de metodologías analíticas para la determinación de polifenoles en alimentos (Dra. Gemma Fonrodona)
- Caracterización y determinación de fármacos antirretrovirales utilizados en el tratamiento del SIDA mediante sistemas en flujo continuo y técnicas de separación cromatográficas y electroforéticas acopladas a espectrometría de masas (Dr. Santiago Hernández y Dr. Javier Saurina)



Química Analítica del DNA cuádruple

Las bases del DNA

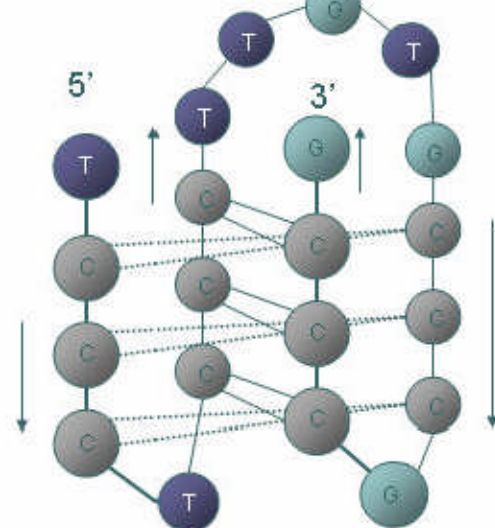
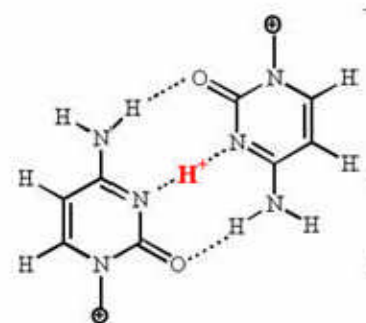




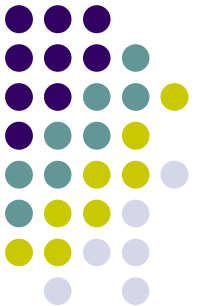
Química Analítica del DNA cuádruple La estructura *i-motif*

c c c G C C C C C T T C C etc.

pH < 7

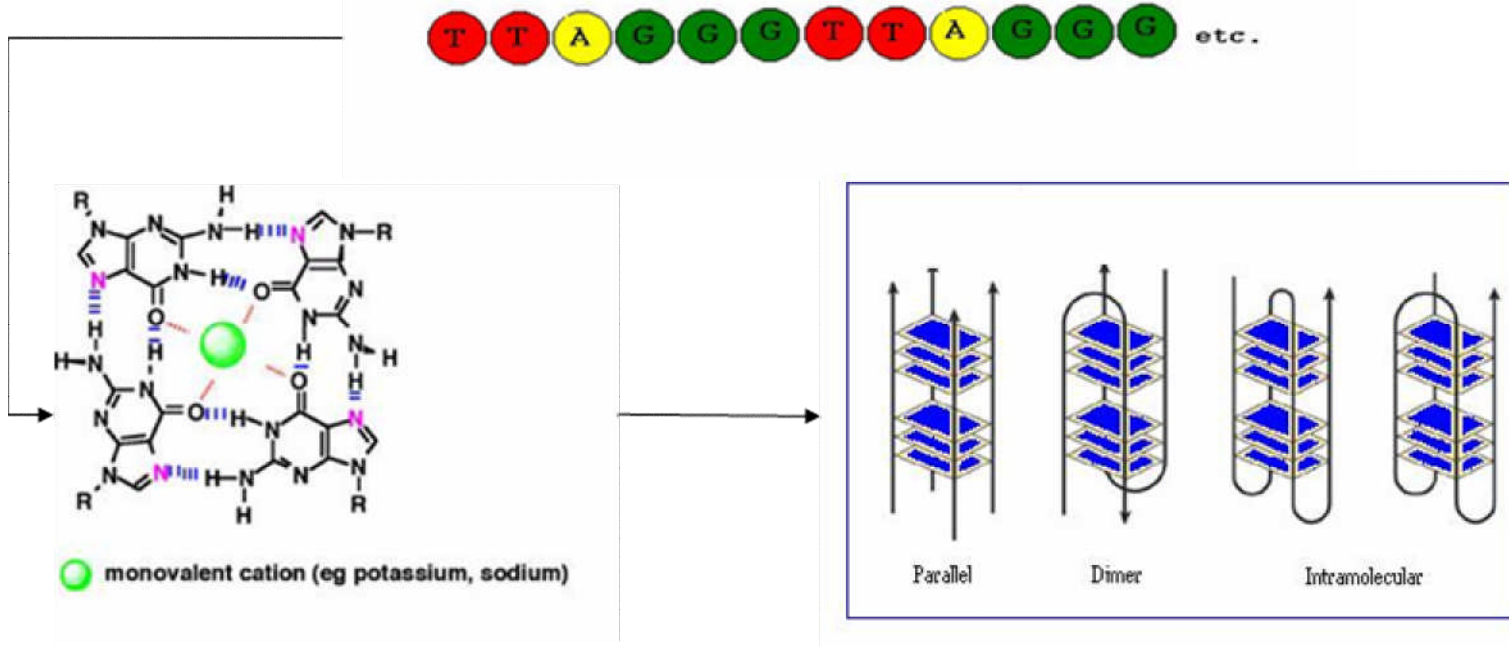


- Esta estructura se forma en cadenas de DNA ricas en bases citosina
- Se necesita la protonación de una base citosina y ésto sólo ocurre a pH moderadamente ácidos (el pK_a de la citosina es, aproximadamente, 4,5).
 - ¿Cómo modular la estabilidad del *i-motif*?
 - Interaccionando con ligandos apropiados
 - Introduciendo modificaciones en su estructura



Química Analítica del DNA cuádruple

La estructura G-quadruplex



- Presencia "in vivo" de secuencias de ADN potencialmente formadoras en:
 - Extremos de los cromosomas (telómeros)
 - Promotores de algunos oncogenes: *bcl-2*, *c-kit*, *c-myc*
- Interés científico como posibles objetivos de terapias genéticas
 - Formación y estabilidad
 - Desarrollo de ligandos capaces de modular selectivamente la estabilidad de éstos frente a la hélice doble de ADN



Química Analítica del DNA cuádruple

Técnicas instrumentales y procedimientos experimentales

- ¿Qué secuencias estudiamos?
 - telómero humano
 - regiones próximas a promotores en los oncogenes *bcl-2* y *c-kit*
- ¿Qué hacemos?
 - Estudiar la estabilidad (en función del pH, de la temperatura, de la fuerza iónica, de la presencia de ligandos, etc.)
 - Desarrollar metodología analítica para su estudio
- ¿Cómo?
 - Procedimientos experimentales: valoraciones, razones molares, fusiones, etc.
 - Técnicas espectroscópicas: absorción molecular, fluorescencia molecular, FRET, almenaras moleculares (*molecular beacons*), dicroismo circular, NMR
 - Técnicas de interacción molecular: *Surface Plasmon Resonance*
 - Técnicas de separación : HPLC, CE.
 - Quimiometría: *hard-* y *soft-modeling*



Química Analítica del DNA cuádruple

Estudio de la estabilidad de un *i-motif* en función de la temperatura

Análisis individual

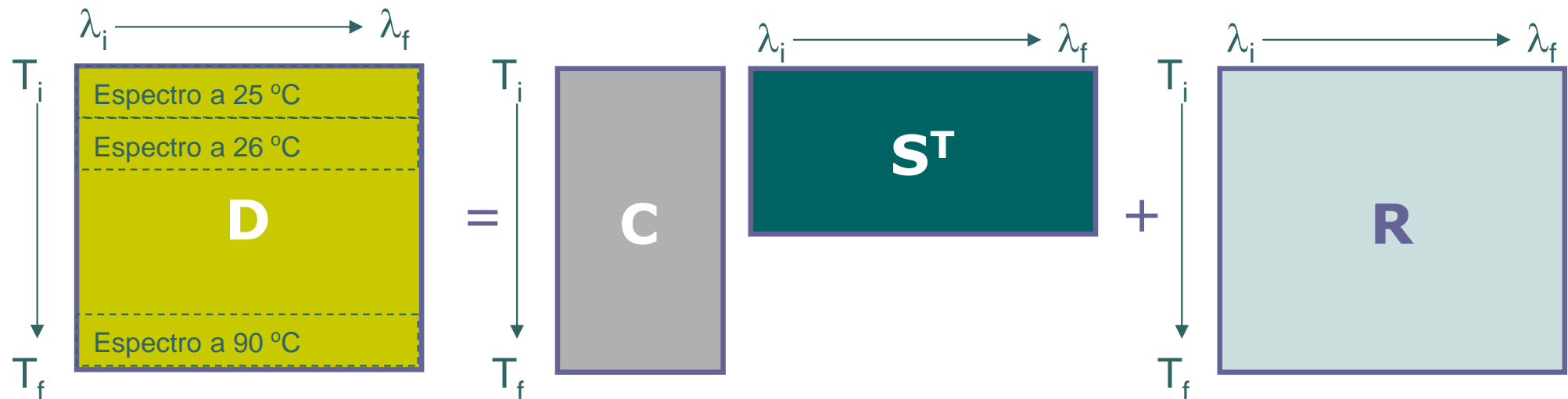
La bien conocida ley de Lambert-Beer-Bouer para una única longitud de onda...

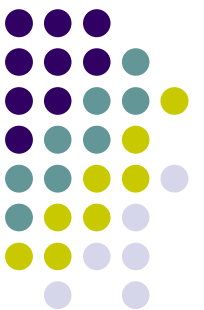
$$A_{\lambda} = C \varepsilon_{\lambda}$$

... se aplica a todo el espectro:

$$D = CS^T + R$$

En forma gráfica:



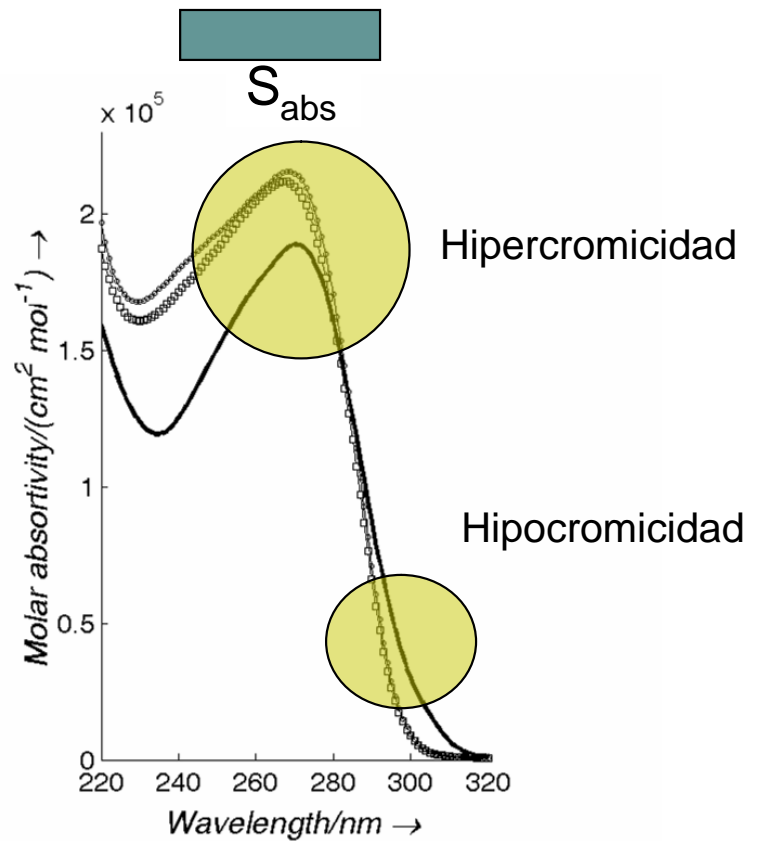
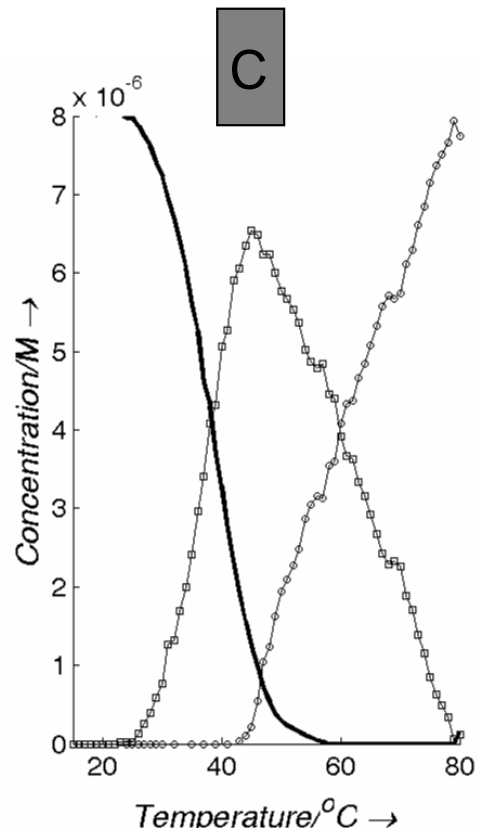
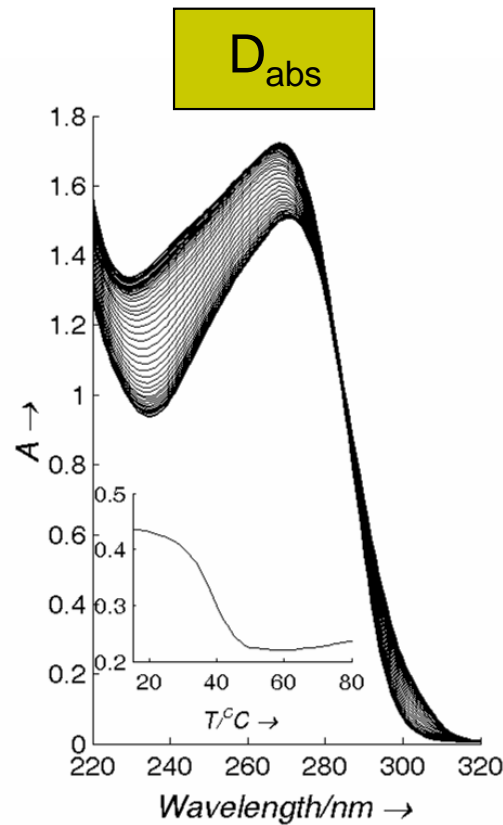


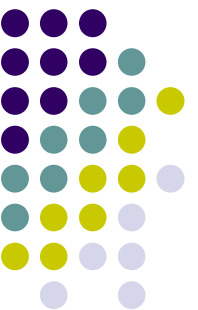
Química Analítica del DNA cuádruple

Estudio de la estabilidad de un *i-motif* en función de la temperatura

Análisis individual

Desnaturalización térmica de un *i-motif* a pH 6,1





Química Analítica del DNA cuádruple

Estudio de la estabilidad de un *i-motif* en función del pH

Análisis simultáneo

Analizamos dos matrices de datos: dicroismo circular y absorción molecular

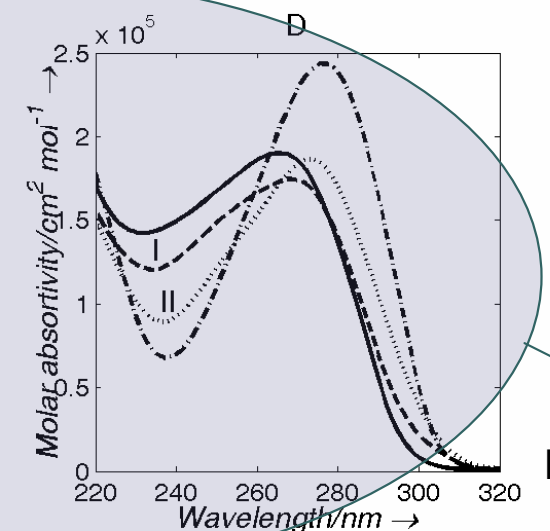
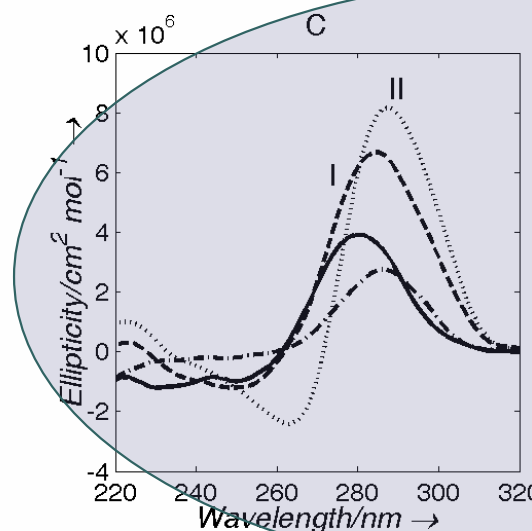
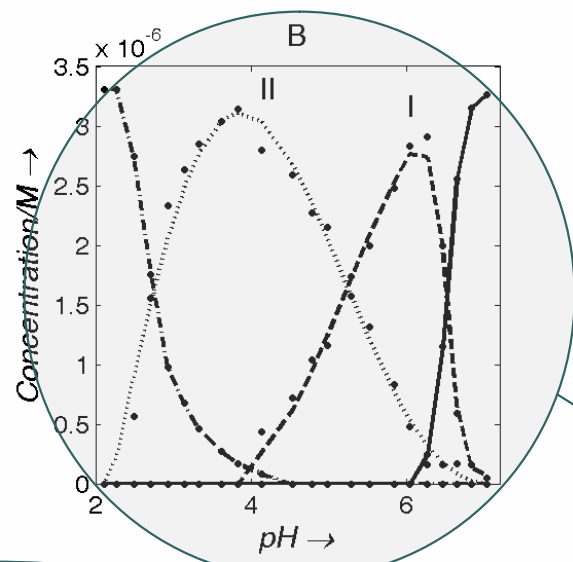
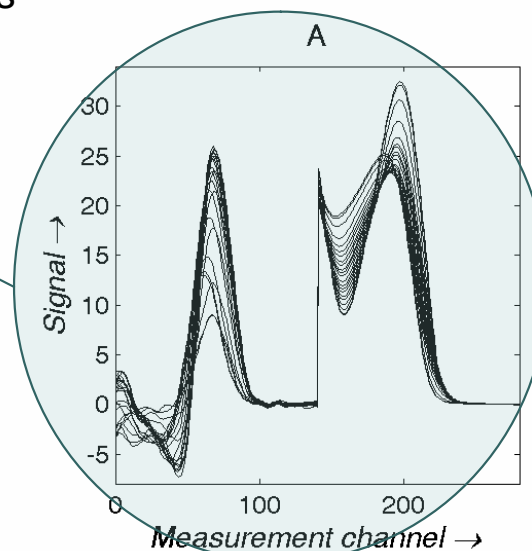
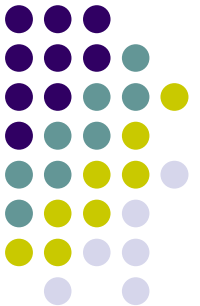


Diagrama de distribución



Espectros resueltos

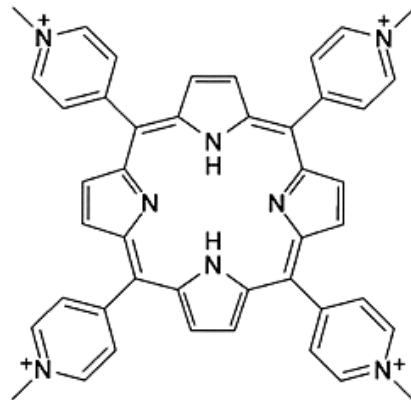




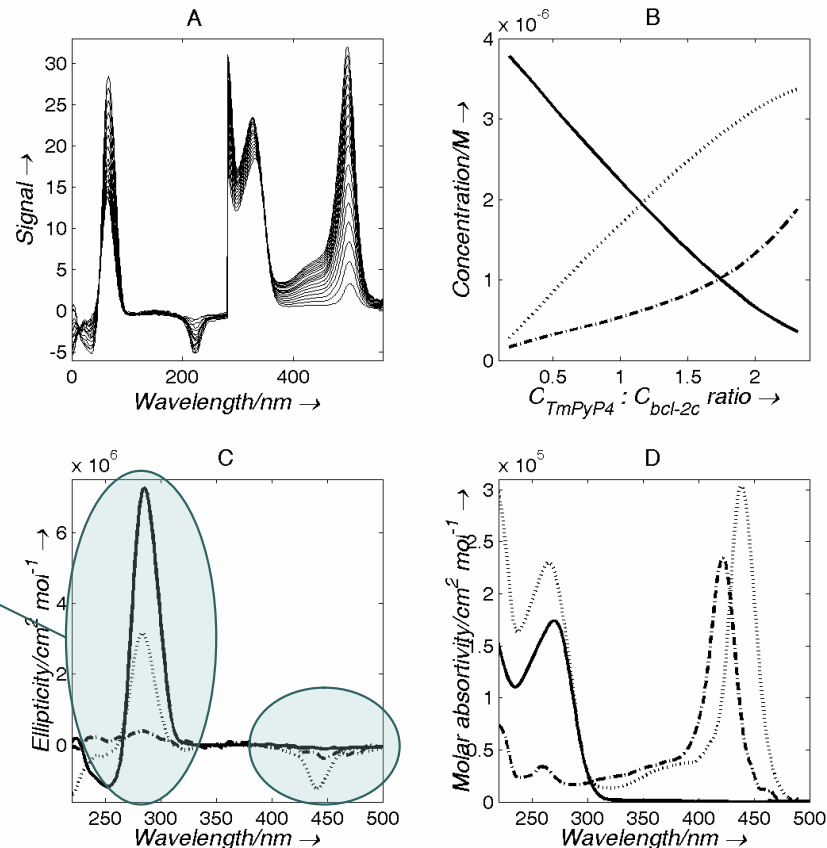
Química Analítica del DNA cuádruple

Estudio de la interacción de un *i-motif* con la porfirina TMPyP4

Modelado rígido (*hard-modeling*)



TMPyP4: porfirina tomada como ‘modelo’ en estudios de interacción



Clara disminución de
la señal de dicroismo
¿desorden?

Dicroismo inducido:
¿intercalación?

Se propone un complejo con estequiometría 1:2 (DNA:ligando) y $\log K_{eq} = 12.4 \pm 0.2$



Química Analítica del DNA cuádruple

Competición dúplex / G-quadruplex en el telómero humano

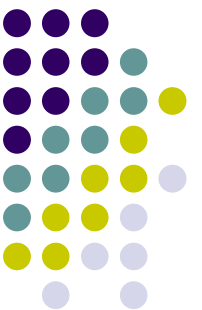
Análisis simultáneo

- Si tenemos una cadena rica en citosinas y, a la vez, una cadena rica en guaninas...
- ↓
- ... podremos tener una competición dúplex Watson-Crick vs. G-cuádruple
- ↓
- Objetivo: resolver la competición cuádruple / dúplex W-C a lo largo de la fusión de una mezcla de cadenas ricas en guanina y citosina
 - Presencia de cadena rica en G → G- cuádruple
 - Presencia de cadena rica en C → dúplex
 - En definitiva:
 - “¿cuánto hay de cada una de estas estructuras?”

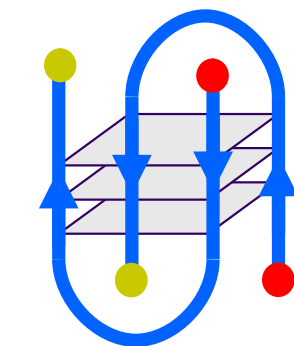
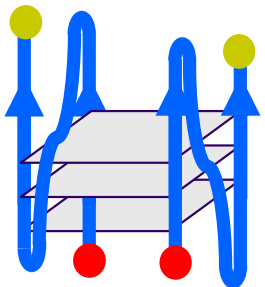
Química Analítica del DNA cuádruple

Competición dúplex / G-quadruplex en el telómero humano

Análisis simultáneo



Estructuras presentes en el sistema:



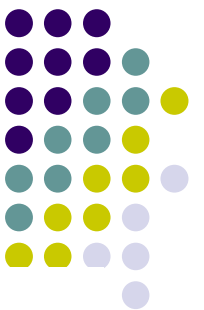
SG ovillo aleatorio



Temperatura baja: mezcla de estructuras ordenadas

Temperatura alta: **mezcla de estructuras desordenadas de SG y SC**

Temperaturas intermedias: ¡habrá de todo!

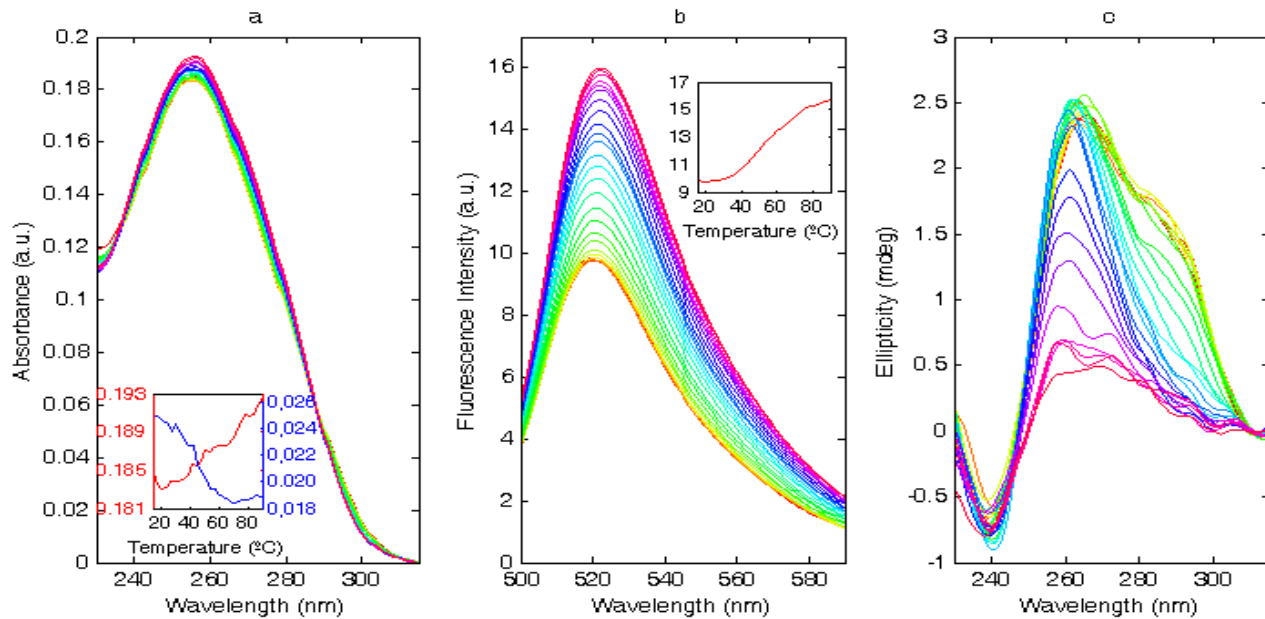


Química Analítica del DNA cuádruple

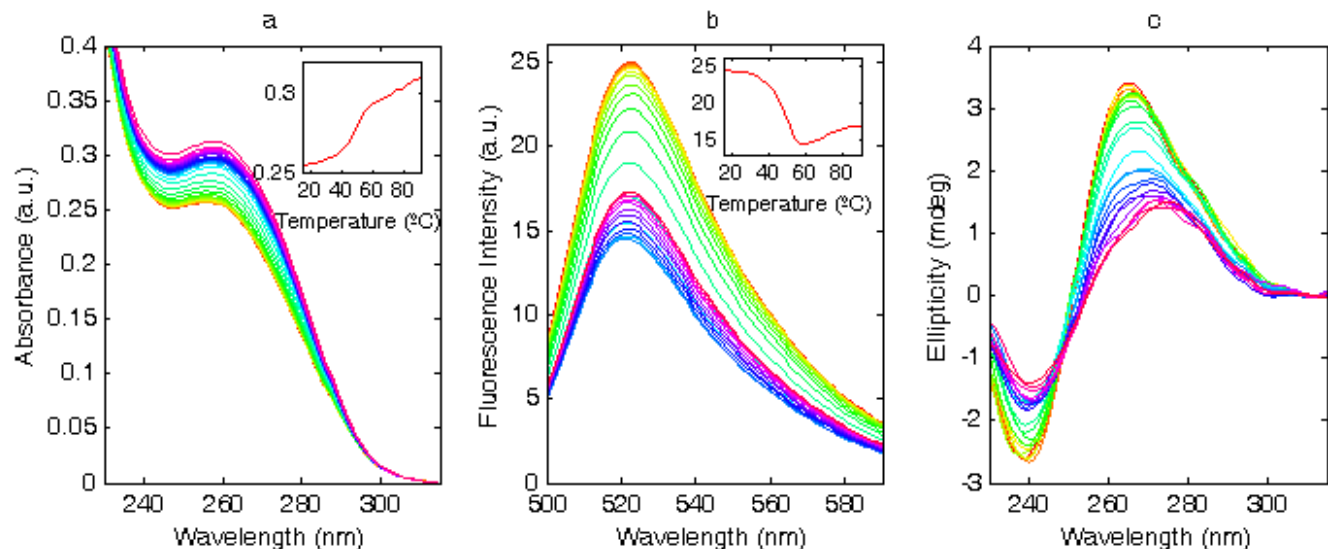
Competición dúplex / G-quadruplex en el telómero humano

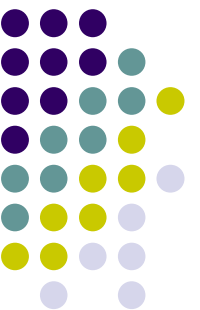
Análisis simultáneo

Fusión de SG



Fusión de la mezcla
SG:SC 1:1

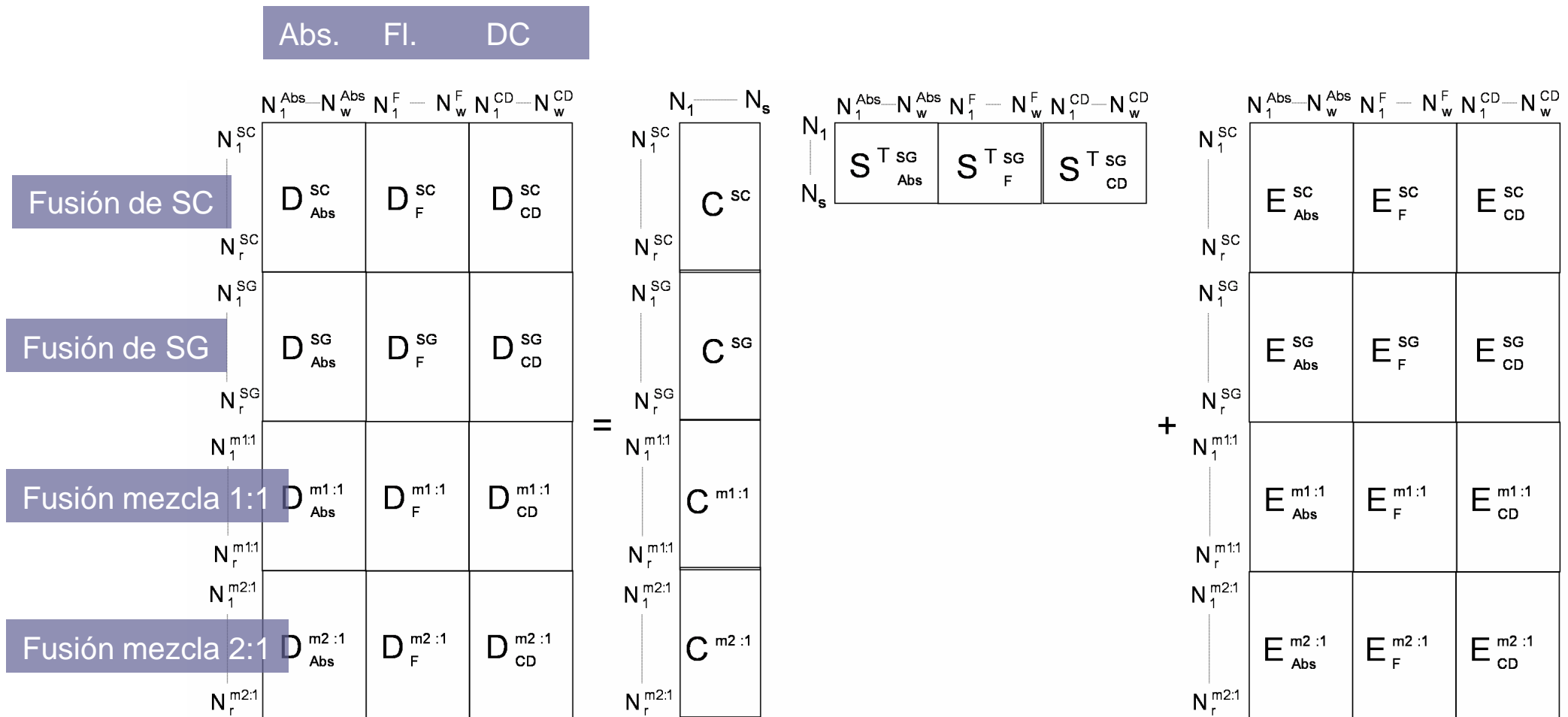




Química Analítica del DNA cuádruple

Competición dúplex / G-quadruplex en el telómero humano

Análisis simultáneo

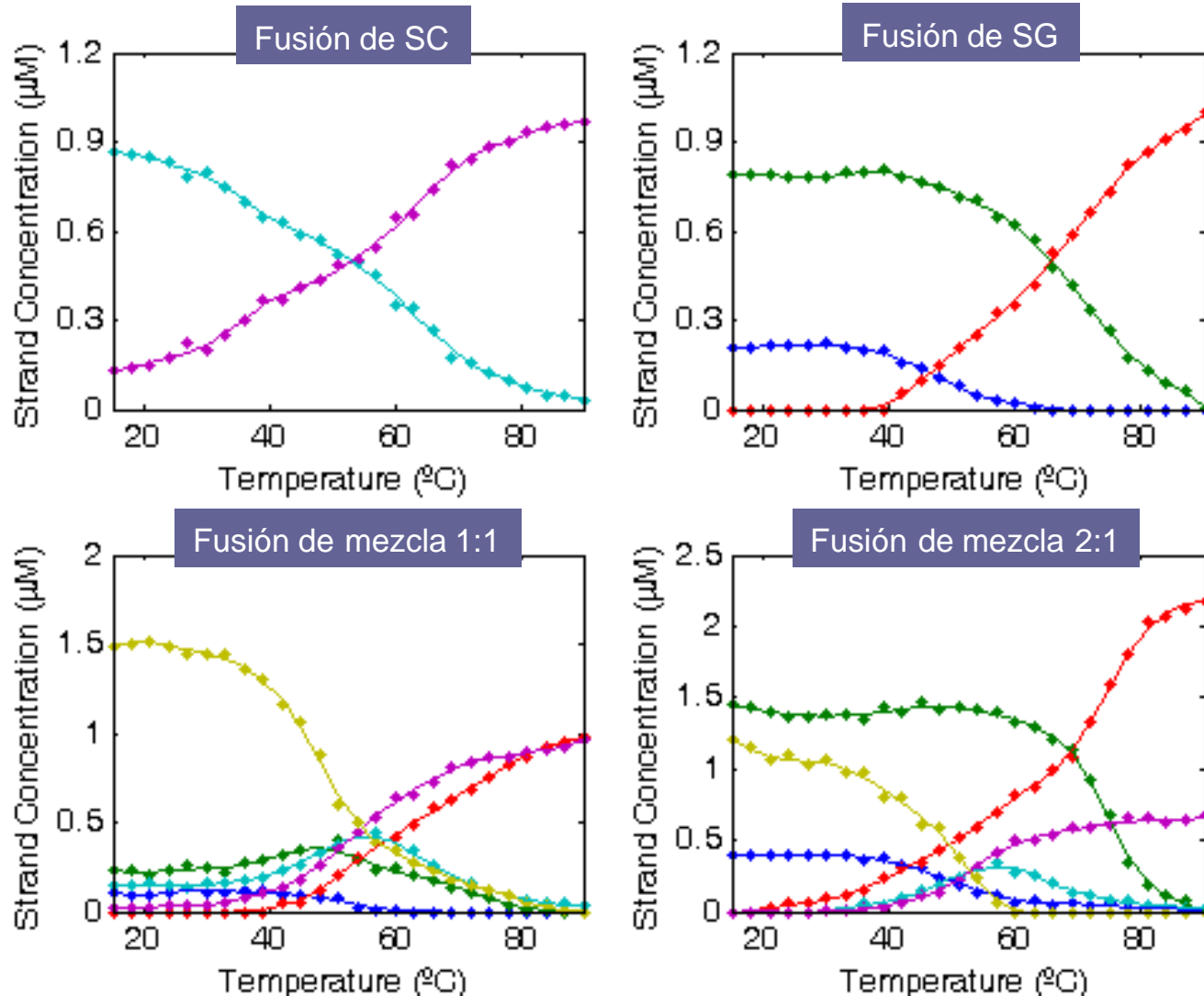




Química Analítica del DNA cuádruple

Competición dúplex / G-quadruplex en el telómero humano

Análisis simultáneo

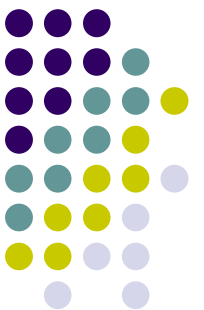


Identificación:

SC “ordenada”
SC desordenada

SG cuádruple paralelo
SG cuádruple antiparalelo
SG desordenada

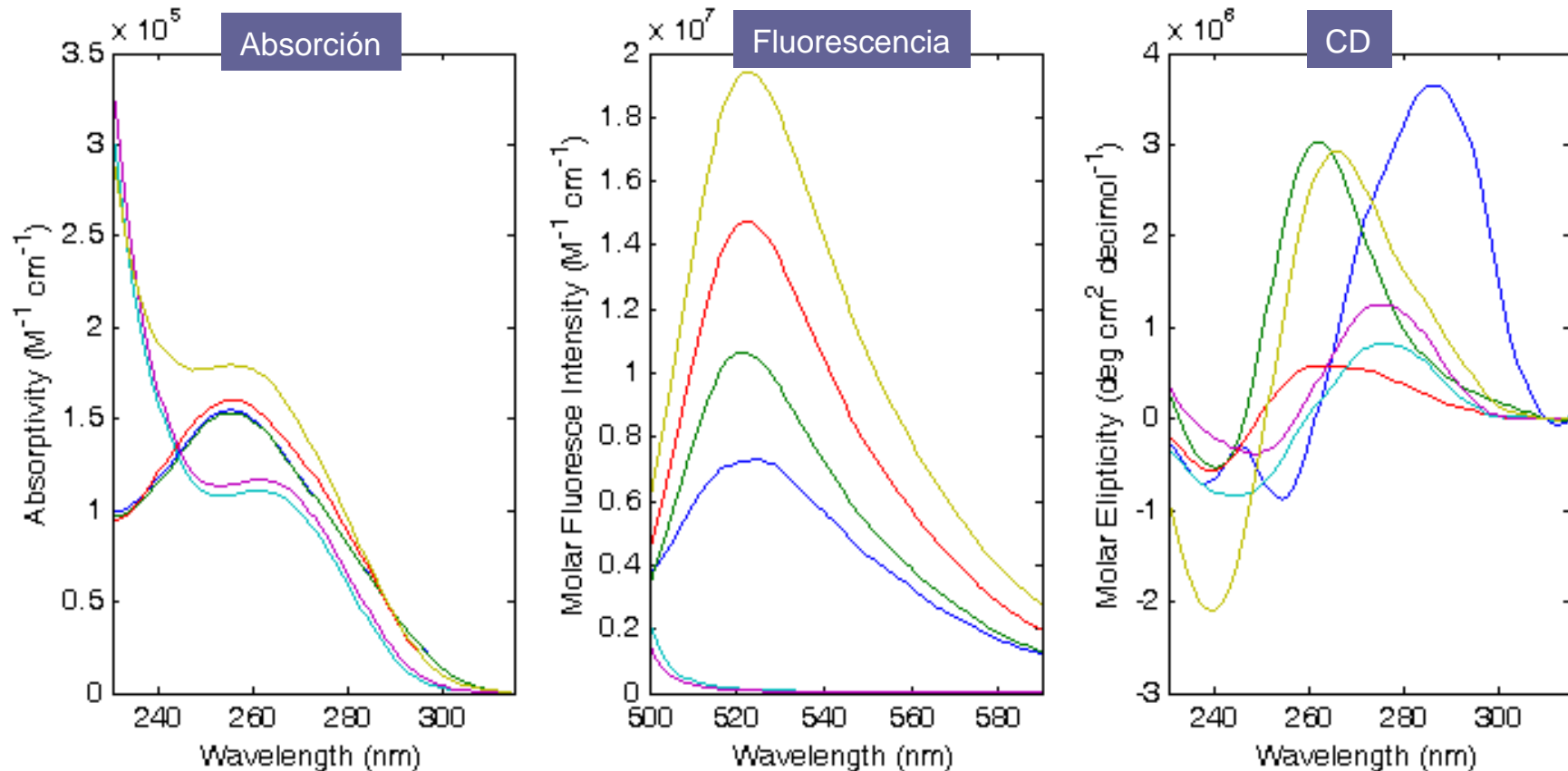
SG-SC dúplex



Química Analítica del DNA cuádruple

Competición dúplex / G-quadruplex en el telómero humano

Análisis simultáneo



SC “ordenada” SC desordenada

SG cuádruple paralelo

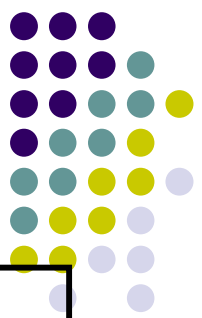
SG cuádruple antiparalelo

SG desordenada

SG-SC dúplex

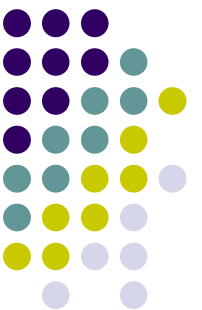
Estudio y modelado de procesos en que intervienen proteínas

Estructuras de las proteínas



Primary structure	Secondary structure	Tertiary structure	Quaternary structure
Val Leu Ser Ala Asp Ala Trp Gly Val His	 α -helix β -sheet turn Random coil	 Globule formation	 Assembled subunits
Amino acids	Helix, sheet formation		

Native protein (secondary and tertiary structures formed).
Biologically active!!!

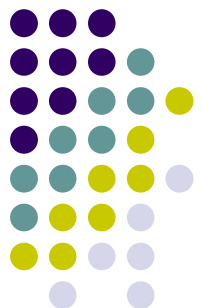


- **Protein conformational transitions**

- Induced by pH, temperature, time, salt effects,...
- Within a structural level.
- Involving variations in several structural levels (protein folding).

- **Protein binding interactions**

- Prosthetic groups within the protein (heme proteins).
- Other ligands (drugs, pollutants,...).



Secondary structure

- Far-UV circular dichroism (200-250 nm)
- Infrared (mid- and near-)
- UV

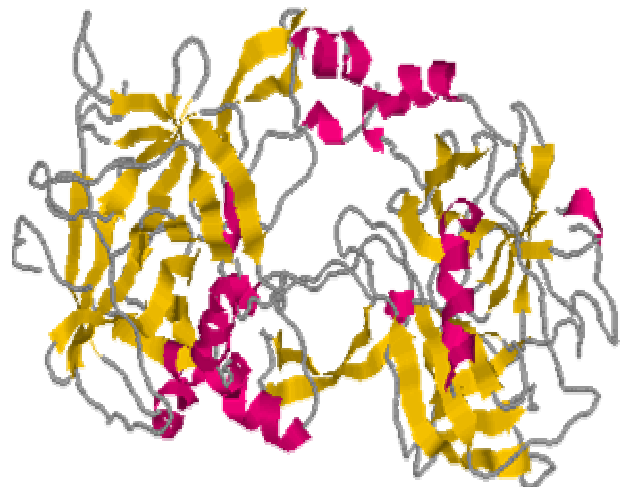
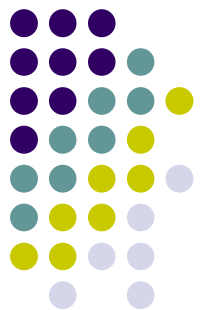
Tertiary structure

- Near-UV circular dichroism (250-350 nm)
- Fluorescence
- UV
- Mass spectrometry (MS)

Binding of heme groups

- Soret CD (380–430 nm)
- UV

Estudio y modelado de procesos en que intervienen proteínas
T-induced unfolding of α -chymotrypsin



Native protein
(2^{ary} and 3^{ary} structures ordered)

$T \uparrow$
Unfolding

Unfolded conformation
(2^{ary} and 3^{ary} structures lost)

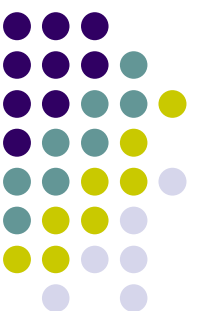
Intermediate conformations
(non-simultaneous evolution of 2^{ary} and 3^{ary} structures)

Other examples of protein folding processes

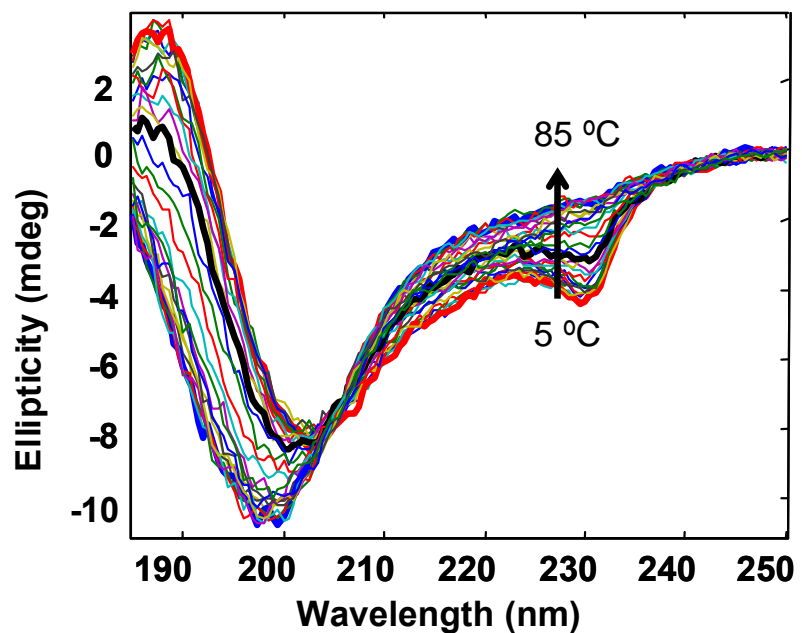
S. Navea, A. de Juan.; R. Tauler. *Analytica Chimica Acta*, 446 (2001) 187-197.

S. Navea, A. de Juan; R. Tauler. *Analytical Chemistry*, 64 (2002) 6031-6039.

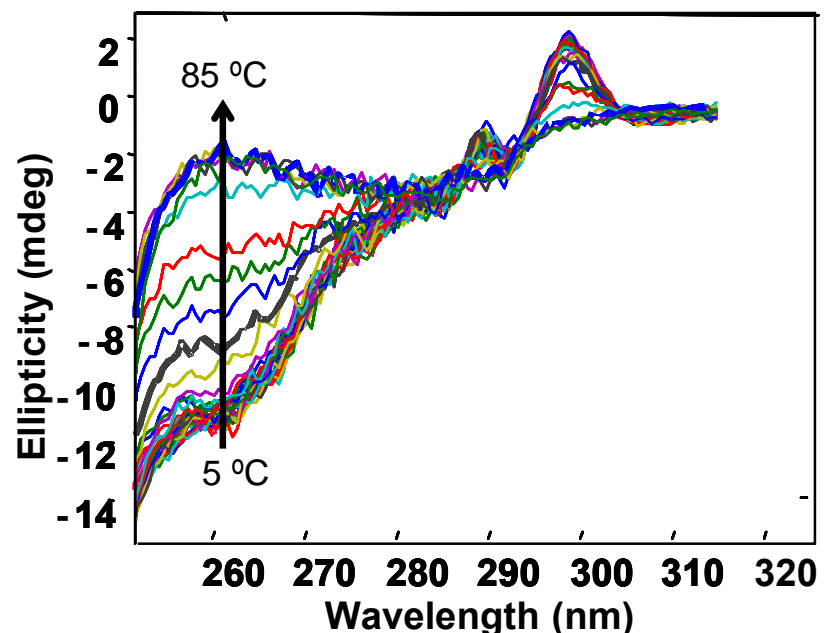
Estudio y modelado de procesos en que intervienen proteínas
T-induced unfolding of α -chymotrypsin



Changes in secondary structure
(Far-UV CD)

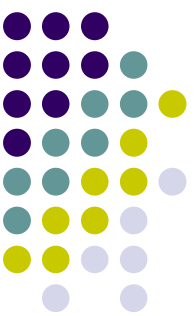


Changes in tertiary structure
(near-UV CD)

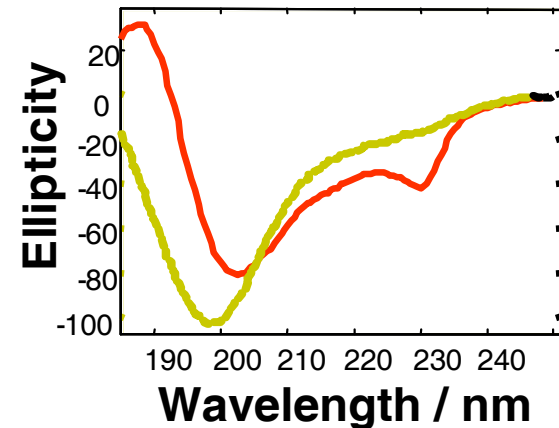
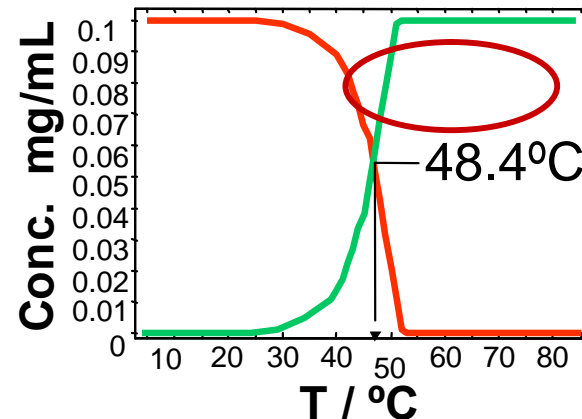
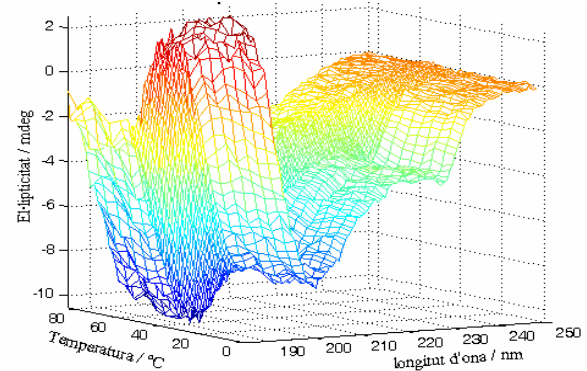


Estudio y modelado de procesos en que intervienen proteínas

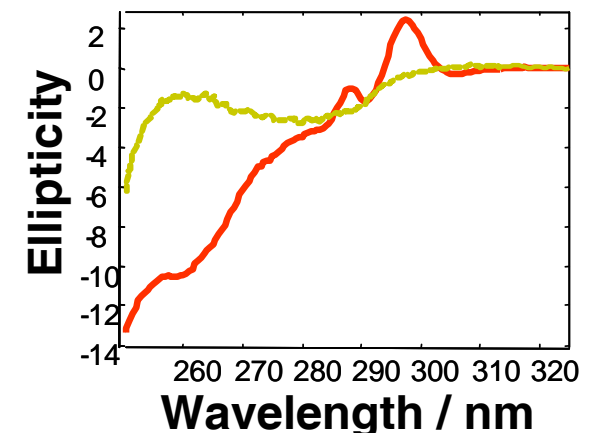
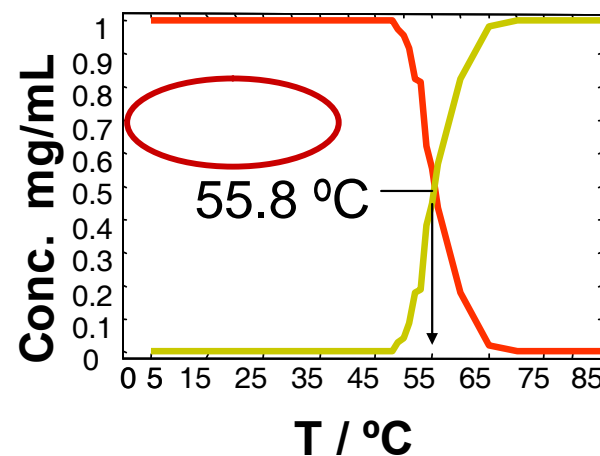
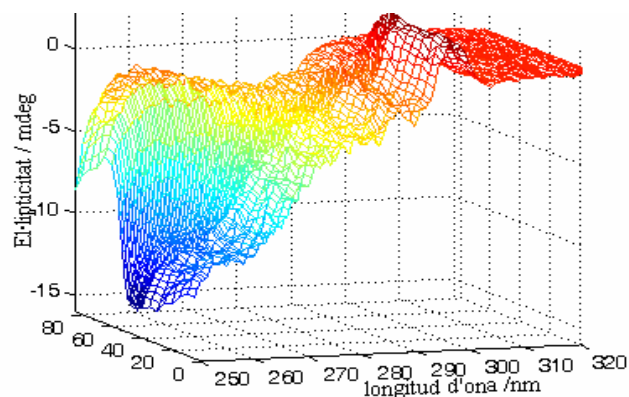
T-induced unfolding of α -chymotrypsin



Changes in secondary structure (far-UV CD resolution)



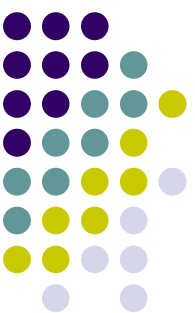
Changes in tertiary structure (near-UV CD resolution)



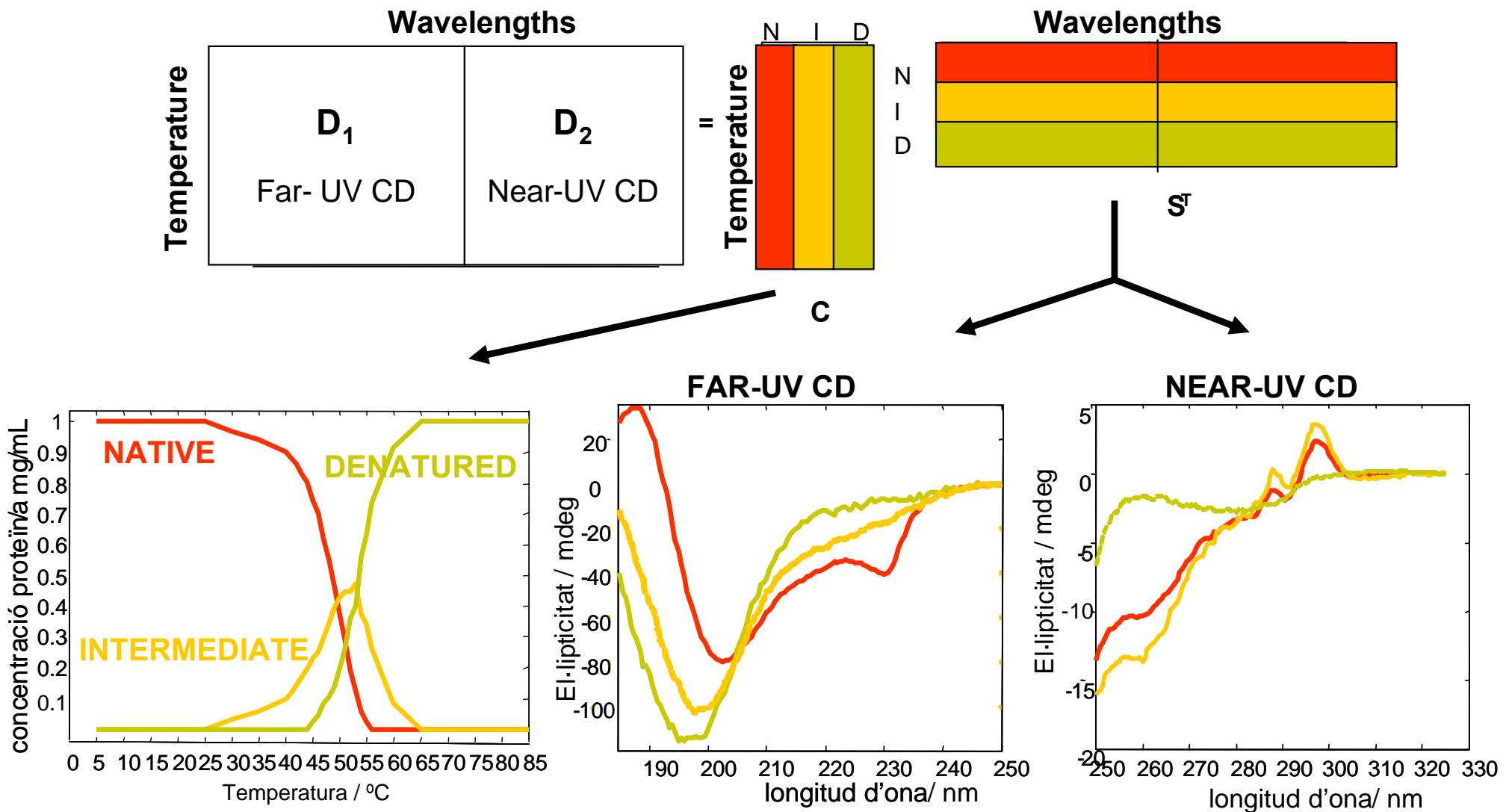
Intermediate??

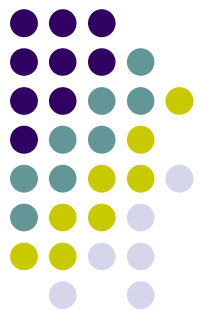
Estudio y modelado de procesos en que intervienen proteínas

T-induced unfolding of α -chymotrypsin



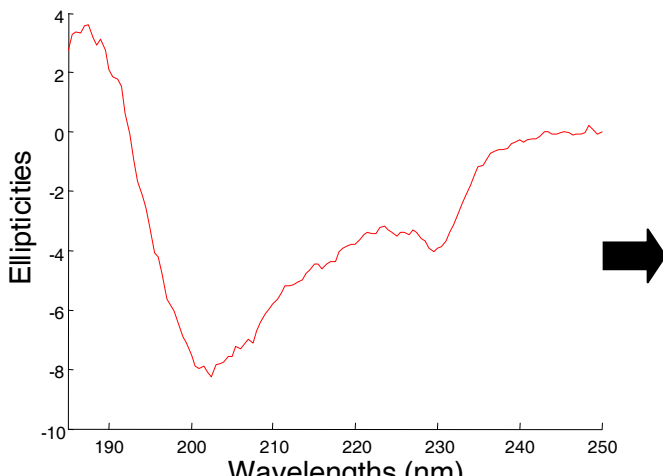
Global protein unfolding description (far-UV and near-UV CD)



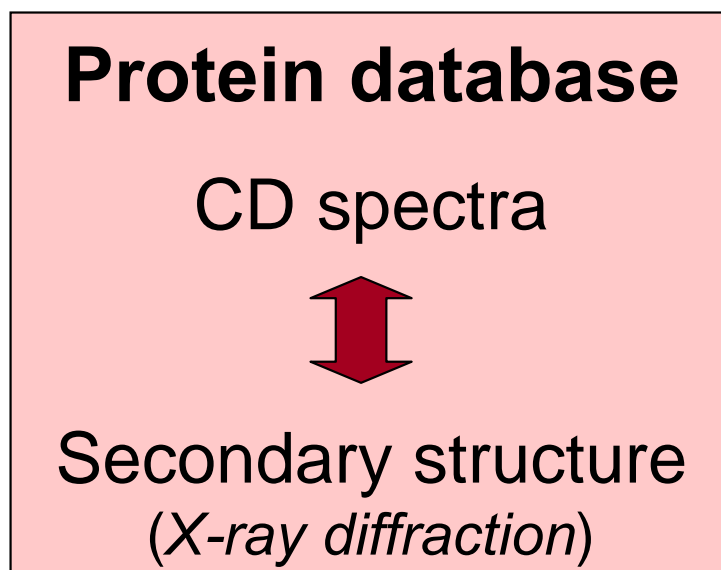


Resolved far-UV circular dichroism spectra

CD spectrum = Σ (frac. 2^{ary} motif) (pure sp 2^{ary} motif)

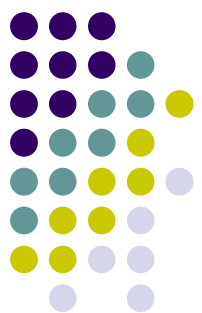


CD spectrum



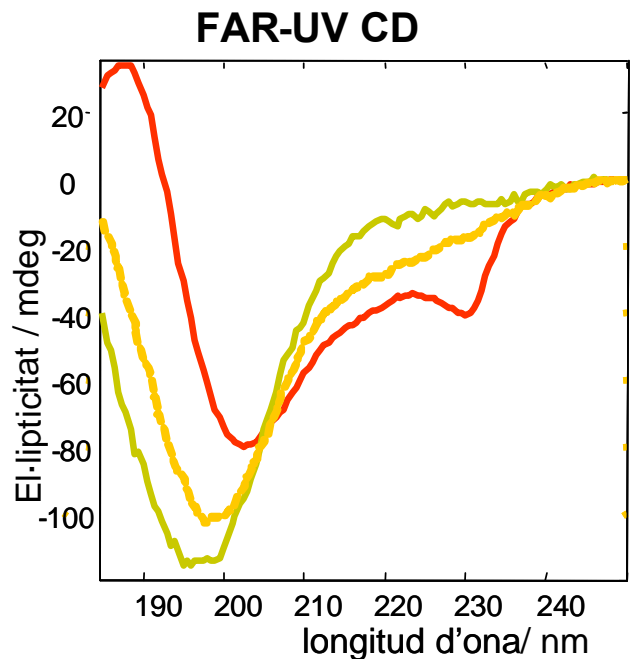
- ✓ F. α -helix
- ✓ F. β -sheet
- ✓ F. random coil
- ✓ F. turns

Fraction 2^{ary} structure motifs



- **Resolved pure far-UV CD spectra**

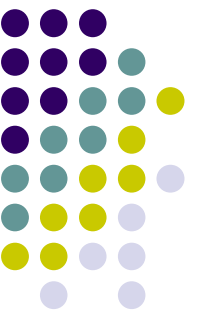
- Structural description of the pure protein conformations.



	α -helix	β -sheet	Turns	Random coil
Native	12 ±4	30 ±7	24 ±6	34 ±5
Intermediate	5 ±4	36 ±8	24 ±6	33 ±6
Unfolded	6 ±4	35 ±7	24 ±4	34 ±5

Conversion α helix → β sheet

Structure of chemically non-isolable conformations can be elucidated!!

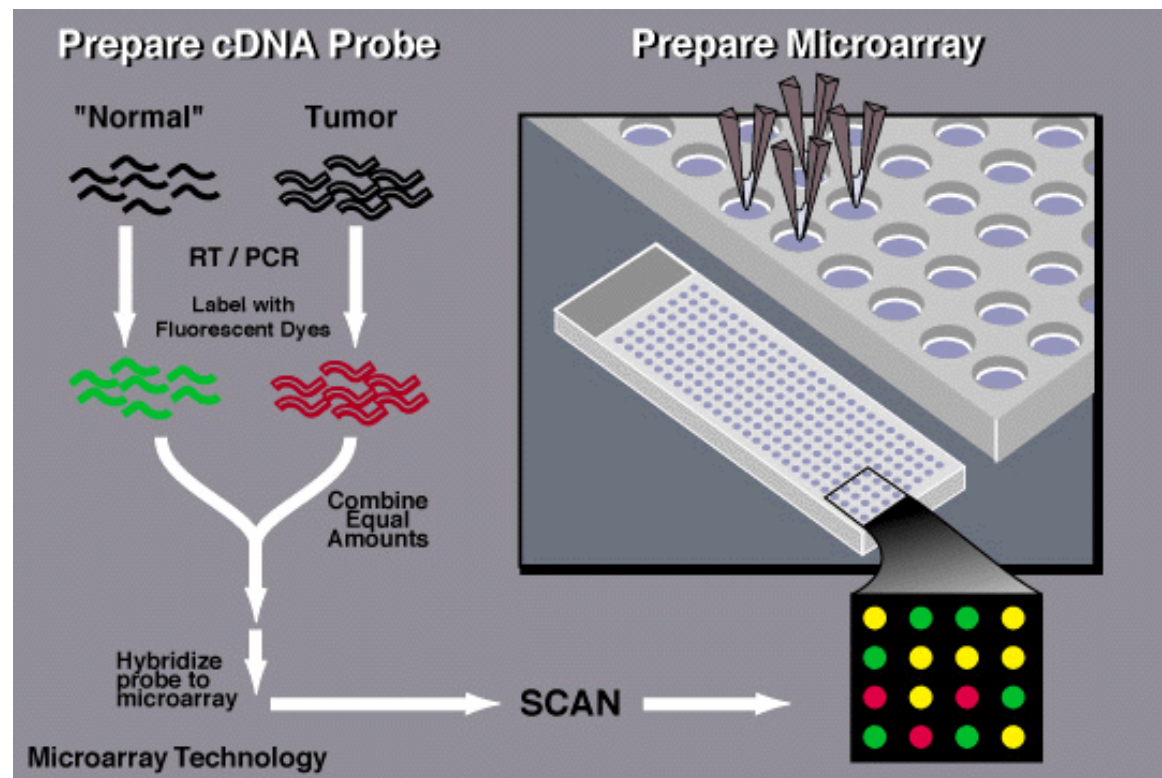
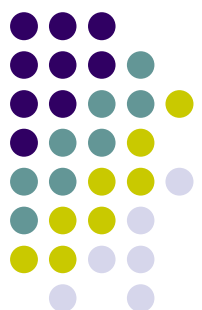


Análisis de micromatrizes de ADN

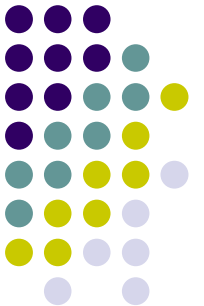
- Se visualizan los niveles de expresión genética de miles de genes en un único experimento
- Se obtiene información sobre la existencia de pautas y relaciones entre muestras (líneas celulares) y variables (genes)
- PCA y métodos de clasificación se han utilizado ampliamente, permitiendo la clasificación de muestras y la identificación de genes sobre- o infra-expresados

Análisis de micromatrices de ADN

Instrumentación



- When a gene is activated, cellular machinery begins to copy certain segments of that gene. The resulting product is known as messenger RNA (mRNA), which is the body's template for creating proteins. The mRNA produced by the cell is complementary, and therefore will bind to the original portion of the DNA strand from which it was copied.
- To determine which genes are turned on and which are turned off in a given cell, a researcher must first collect the messenger RNA molecules present in that cell. The researcher then labels each mRNA molecule by attaching a fluorescent dye. Next, the researcher places the labeled mRNA onto a DNA microarray slide. The messenger RNA that was present in the cell will then hybridize - or bind - to its complementary DNA on the microarray, leaving its fluorescent tag. A researcher must then use a special scanner to measure the fluorescent areas on the microarray.
- If a particular gene is very active, it produces many molecules of messenger RNA, which hybridize to the DNA on the microarray and generate a very bright fluorescent area. Genes that are somewhat active produce fewer mRNAs, which results in dimmer fluorescent spots. If there is no fluorescence, none of the messenger molecules have hybridized to the DNA, indicating that the gene is inactive. Researchers frequently use this technique to examine the activity of various genes at different times.



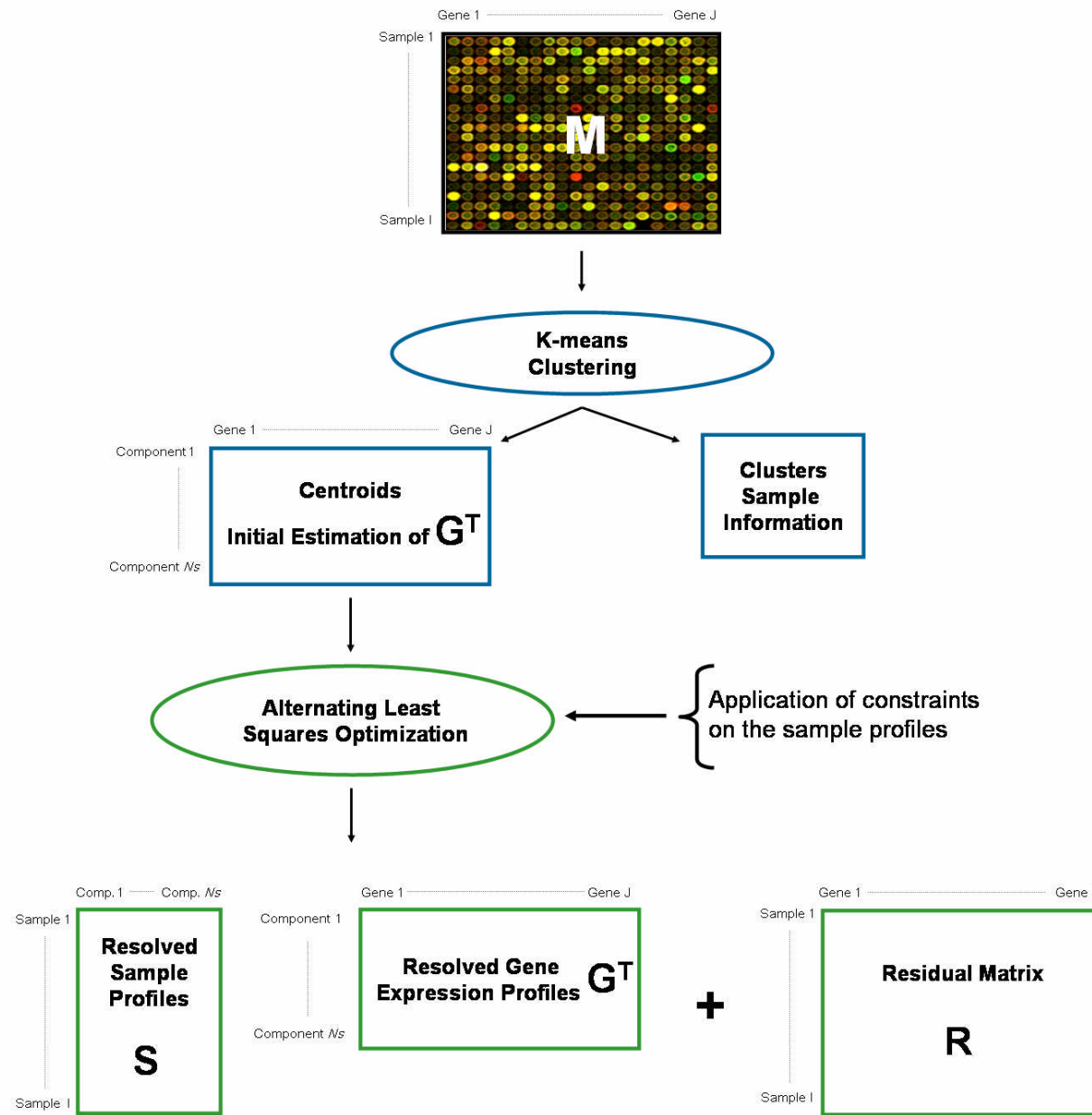
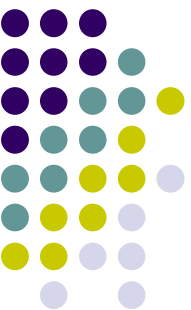
Análisis de micromatrices de ADN

Datos analizados (*Anal. Biochem.* 2006, 353, 76)

- NCI60 data set (Ross *et al.* *Nat. Gen.* 2000, 24, 227)
- 60 samples:
 - breast carcinoma (BR)
 - central nervous system tumor (CNS)
 - colon carcinoma (CO)
 - non-small lung cancer (NSLC)
 - leukemia (LE)
 - melanoma (ME)
 - ovarian carcinoma (OV)
 - prostate cancer (PR)
 - renal carcinoma (RE)
- mRNA was extracted and hybridized to cDNA microarrays including 9703 human cDNA clones that represented approximately 8000 different genes.
- The analyzed data set contains 60 samples and 1416 variables

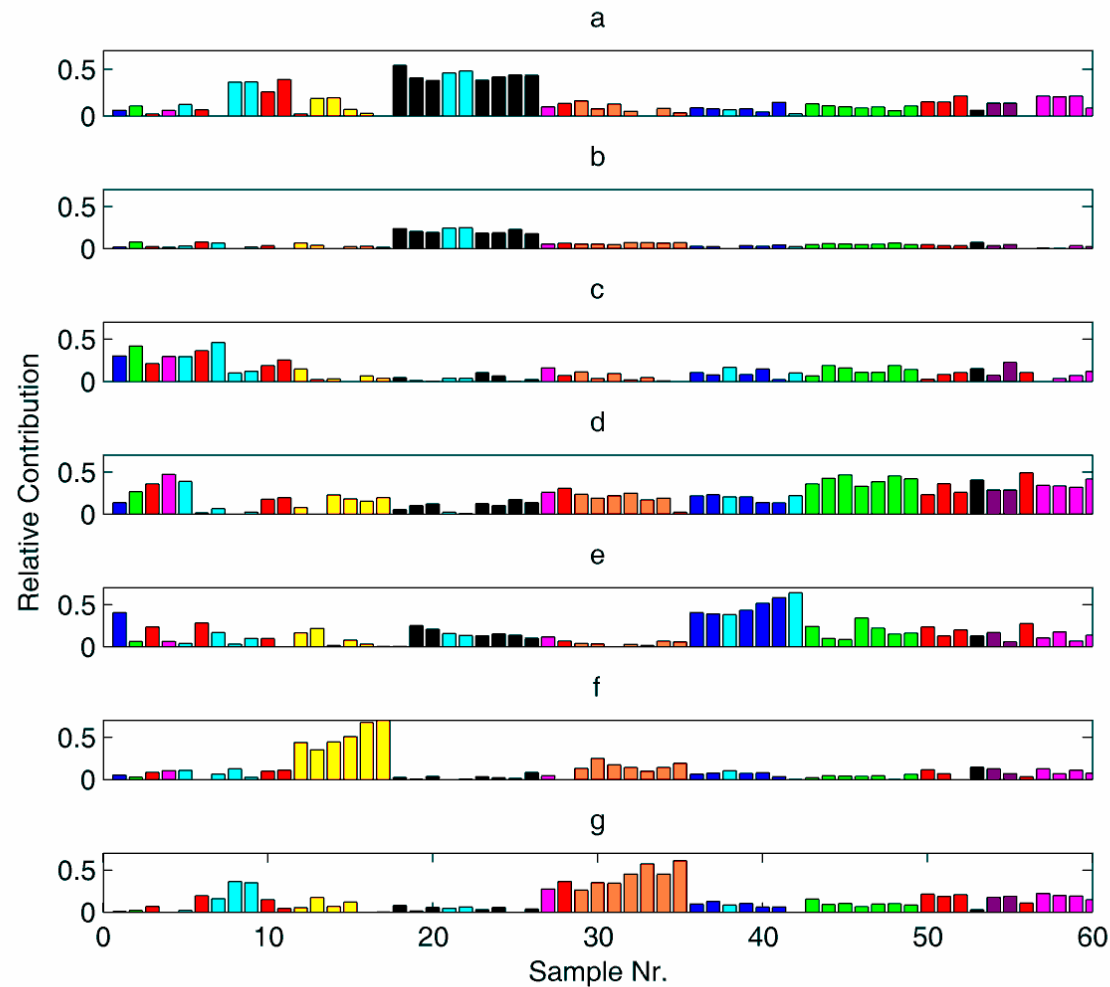
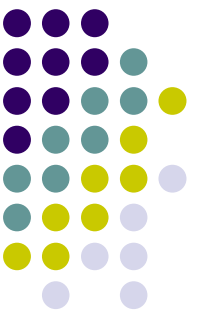
Análisis de micromatrices de ADN

Esquema del análisis con MCR-ALS



Análisis de micromatrices de ADN

Interpretación de los perfiles de muestras resueltos

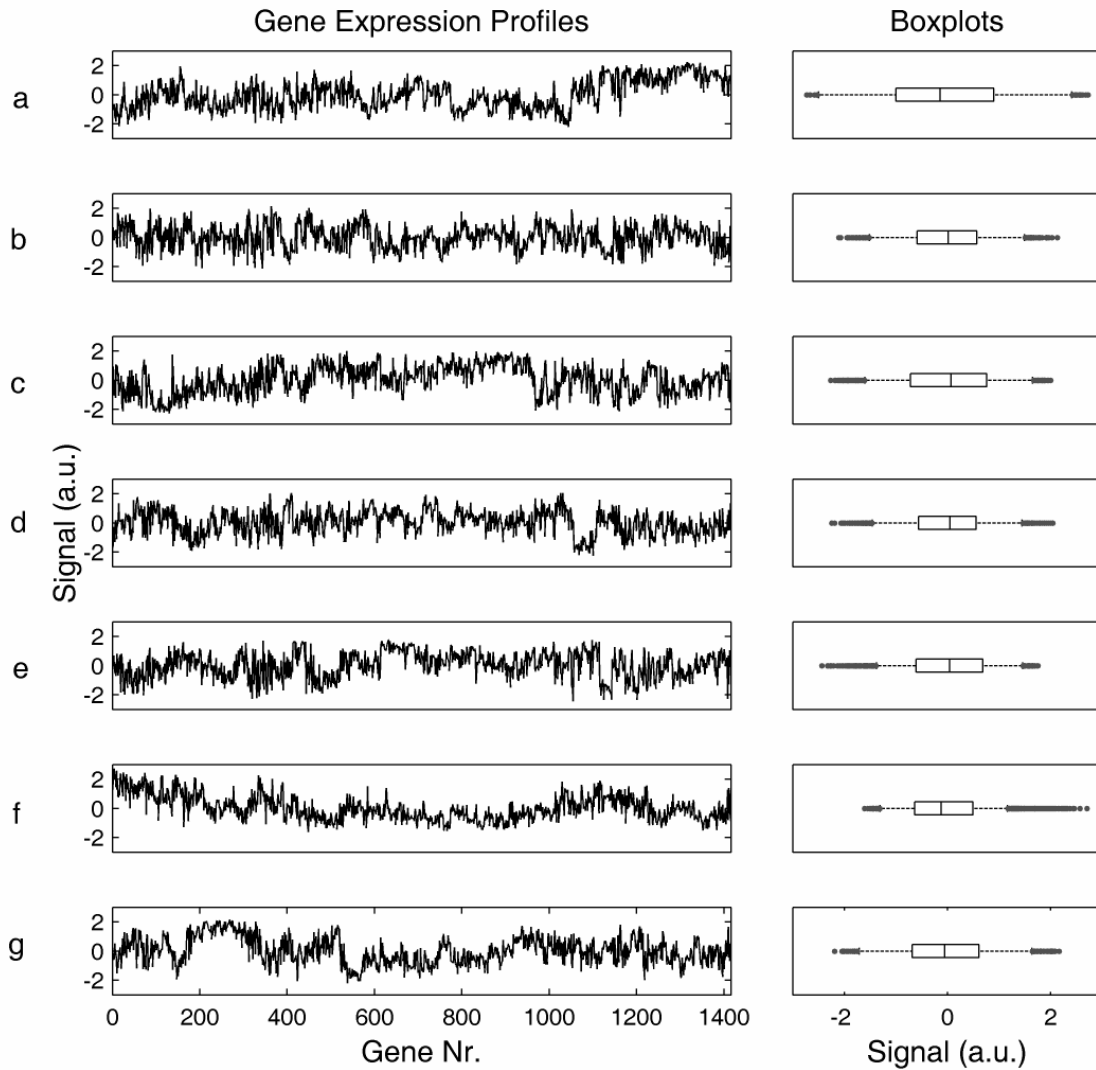


Componente	Tipo de cáncer
a	melanoma, cancer de mama
b	melanoma, cancer de mama
c	No es posible una asignación inequívoca
d	No es posible una asignación inequívoca
e	sistema nervioso central
f	leucemia
g	carcinoma de colon



Análisis de micromatrices de ADN

Interpretación de los perfiles de expresión genética resueltos



La identificación de las variables extremas (~ *outliers*) mediante diagramas de caja (*boxplot*) en los perfiles de expresión genética resueltos con MCR-ALS permite una identificación de los genes sobre- e infra-expresados



Más información en...

Estudio de los equilibrios en solución de un i-motif	Biochimie 2007, 89, 1562
Estudio de la competición dúplex / G-cuádruple en el telómero humano	Nucleic Acids. Res. 2006, 34, 206
Application of multivariate curve resolution to the temperature-induced unfolding of α -chymotrypsin	Anal Chimica Acta, 2005, 544, 159
T-induced transitions of β -lactoglobulin	Anal. Chem. 2003, 75, 5592
Análisis de datos de micromatrizes de ADN	Anal. Biochem. 2006, 358, 76
Página web del grupo de equilibrios en solución y Quimiometría	www.ub.es/gesq
Página web de la línea de investigación sobre equilibrios en solución de ácidos nucleicos (<i>esta presentación está disponible en esta web</i>)	www.ub.es/gesq/dna
Página web de MCR-ALS	www.ub.es/mcr